

12MeV直线感应加速器X光能谱的实验测量^{*}

禹海军^{1;1)} 李裕熊² 石金水¹ 李勤¹ 陈楠¹

1(中国工程物理研究院流体物理研究所 绵阳 621900)

2(中国科学技术大学国家同步辐射实验室 合肥 230029)

摘要 12MeV直线感应加速器能够产生能量~12MeV、流强2.2kA的电子束，被传输、聚焦后形成~4mm的束斑，与轫致辐射靶靶作用来产生高剂量的X光。首先设计了X光探测器，并利用多层吸收拟合法来对X光能谱进行了测量，得到了X光的轫致辐射能谱，X光峰值大约在2MeV，最后对实验结果进行了分析。

关键词 直线感应加速器 探测器 吸收系数 能谱

1 引言

12MeV直线感应加速器(LIA)^[1]能够产生能量约12MeV、束流强度2.2kA的电子束，电子束经过长距离的传输、聚焦后被打击到高原子序数材料的轫致辐射靶(如钽)上，在靶正前方1m处可以产生具有上百伦琴剂量的X光，X光经过准直后可以对物体进行闪光照相。作为限制闪光照相能力的主要因素，研究X光的特性及对其性能参数进行诊断对于闪光照相是极其重要的。X光的特性参数包括X光照射量的大小与角分布、焦斑大小以及X光能谱等。这些参数中，X光照射量的大小与角分布主要是通过热释光测量片来进行测量^[2]；X光焦斑大小是通过大孔法和刀口法^[3]来进行测量；而对于图象处理技术中所需要的X光能谱主要是利用EGS4程序来对其进行蒙卡模拟后得到的结果，在实验测量方面，崔高显等人利用透射系数数值分析的叠代最小二乘法^[4]以及李成刚利用设计的一体化X射线参数测量装置^[5]等对12MeV LIA的X光能谱进行了初步的测量。设计了一种X光探测器，利用多层吸收拟合法来对12MeV LIA的X光能谱进行实验测量。

2 测量原理

采用与12MeV LIA的X光辐射场时间结构无

关的探测器并结合多层吸收拟合法进行测量。多层吸收拟合法的原理是基于一簇多种能量的X光通过某种吸收介质时，会同该物质发生光电效应、康普顿散射、电子对效应等相互作用，结果使得X光被逐渐吸收，X光的强度按各自的指数规律衰减，即 $I = I_0 e^{-\mu x}$ ，其中的 I_0 和 I 为X光通过吸收介质前后的X光的光强(C/kg)， $\mu(cm^2/g)$ 为吸收介质的质量吸收系数(质量吸收系数是能量的函数)， x 为吸收介质的质量厚度(g/cm²)，而通过该层介质被吸收的份额与吸收介质的厚度和X光的能量有关，将多层介质叠加在一起并分别在每层介质后放置能记录X光强度的测量片(本文中利用热释光测量片来测量X光强度)，就构成一套测量系统。将该系统放置于X光的辐射场中，可以采集到一组通过不同厚度后的X光强度的数据，通过对该组数据进行适当的处理，就可以得到对应于各能量值的X光强度，从而可以得到X光的能谱分布。

3 X光探测器设计与实验测量

依据上述测量原理，设计如图1所示的X光探测器，该探测器由9层铁吸收层组成，第1层铁吸收层的几何厚度为5cm，其余的都为2cm。实验时探测器被放置在待测位置处(图2)，实验后依次测量各吸收层后的剂量。其中图2中的各参量为： $d=6cm$ ， $D=9cm$ ， $l=50cm$ ， $L=32cm$ 。

* 国防科技基础研究基金资助

1) E-mail: haijunyu@21cn.com

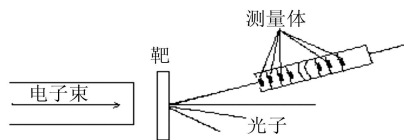


图 1 X 光探测器

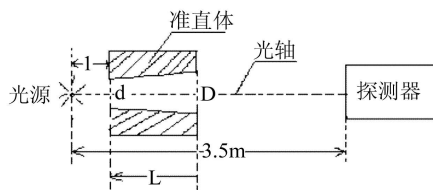


图 2 实验布局

利用上述探头和实验布局, 在表 1 的实验条件下进行了多次辐照实验, 并对辐照后的热释光片进行测量。

表 1 多次辐照实验参数

| 实验号 | 打靶束流 /kA | 电荷量 /μC | 能量 /MeV |
|-----|----------|---------|---------|
| 54 | 2.18 | 174 | 11.28 |
| 55 | 2.22 | 180 | 11.38 |
| 56 | 2.26 | 163 | 10.57 |
| 57 | 2.06 | 165 | 11.37 |
| 58 | 2.20 | 165 | 11.15 |

4 数据处理方法

由于 12MeV LIA 上产生的轫致辐射 X 光光子的特点是能量呈连续分布, 所以首先将整个待求能区作合适的区间划分, 划分为 $1, 2, \dots, n$ 个能量区间, 待求的各区间的光强分别为 I_1, I_2, \dots, I_n , 对于同一吸收体各能量下的质量吸收系数分别为 $\mu_1, \mu_2, \dots, \mu_n$, 根据各吸收层前后的总的光强相等的原则可列出如下的方程组。

$$\left\{ \begin{array}{l} b_1 I_1 + b_2 I_2 + \dots + b_n I_n = b_{00} I_{00} \\ b_1 I_1 e^{-\mu_1 x_1} + b_2 I_2 e^{-\mu_2 x_1} + \dots + b_n I_n e^{-\mu_n x_1} = b_{10} I_{10} \\ b_1 I_1 e^{-\mu_1 x_2} + b_2 I_2 e^{-\mu_2 x_2} + \dots + b_n I_n e^{-\mu_n x_2} = b_{20} I_{20} \\ \vdots \\ b_1 I_1 e^{-\mu_1 x_n} + b_2 I_2 e^{-\mu_2 x_n} + \dots + b_n I_n e^{-\mu_n x_n} = b_{n0} I_{n0} \end{array} \right.$$

上述方程组中, $b_{00} I_{00}, b_{10} I_{10}, \dots, b_{n0} I_{n0}$ 为吸收层前以及各吸收层后的 X 光强度 (C/kg); I_1, I_2, \dots, I_n 为待求的各能量区间的 X 光强度 (C/kg); x_1, x_2, \dots, x_n 为各测量点前总吸收层的质

量厚度 ($g \cdot cm^{-2}$); $b_1, b_2, \dots, b_n, b_{00}, b_{10}, \dots, b_{n0}$ 为转换和修正因子; $I_{00}, I_{10}, \dots, I_{n0}$ 为吸收层前以及各吸收层后的 X 光强度 (C/kg)。

求解上述方程组可以得到各能量区间的 X 光强度 I_1, I_2, \dots, I_n 等, 进而可以得到 X 光能谱。

5 实验结果与误差分析

在利用上述方法对测量结果进行处理时, 需要考虑两个方面的影响, 一是探测器长度(即探测器内不同探测点到光源的距离)所引起的误差, 二是探测器内每层吸收层所引起的散射效应。前者可以通过在转换和修正因子(b_i)中添加距离衰减修正系数($(D/(D+d))^2$)来解决, 后者可以通过扣除能量吸收积累因子来消去散射影响。

综合分析与测量结果, 通过数据处理, 最后得到了 12MeV LIA 归一化的 X 光能谱(图 3)。

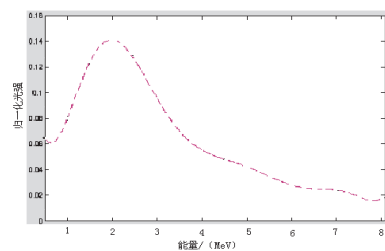


图 3 12MeV LIA 的 X 光能谱

本文利用多层次吸收拟合法对 12MeV LIA 的 X 光能谱进行了测量, 结果表明该能谱的峰值约在 2MeV, 与文献[4]和[5]中得到的能谱结果较为相近, 其中文献[4]中的结果为 2.1MeV, 文献[5]中实验得到的能谱峰值为 2.6MeV。比较 3 种测量方法和结果, 原理都是利用物质的质能吸收系数来得到 X 光能谱, 所得结果也较为相近。

实验结果的测量误差主要来自于以下两类: 一是利用热释光剂量片来测量 X 光强度, 由于没有更高的单能光子源(MeV 量级以上)对热释光片进行定标, 热释光片的高能响应不确定(MeV 量级的测量), 因此测量本身存在有一定的系统误差; 二是随机误差, 包括在标准 γ 源上刻度 LiF 剂量片的刻度系数时, 在刻度过程中存在场的传递误差, 此误差一般认为是 3.5%; 刻度和测量过程中所应用的 LiF 剂量片有一定的复现性, 其复现性误差一般取 3%; 在瞬态电子平衡条件下, 由测量所得的 LiF 剂量片的吸收剂量计算 X 光照射量时, 用线能量吸收系数近似代替等效线减弱系数, 由此引入的误差是 3%; 测量场点的照射量分布不均匀所

导致的误差是5%;因而可以得到整个测量过程中产生的随机误差为9.6%.

参考文献(References)

- 1 SHI Jin-Shui, DENG Jian-Jun, DING Bo-Nan et al. High Power Laser & Particle Beams, 1997, **9**(4): 599—604(in Chinese)
(石金水, 邓建军, 丁伯南等. 强激光与粒子束, 1997, **9**(4): 599—604)
- 2 HE Guo-Rong. Measurement of X Ray Intensity for 10MeV LIA. In: Editionial Office of High Power Laser and Particle Beams. Proceedings of The Conference on 10MeV LIA. Mianyang: High Power Laser and Particle Beams Press, 1994. 201—205(in Chinese)
(何国荣. 10MeV LIA X 光照射量测试研究. 见: 强激光与粒子束编辑部编辑. 10MeV 直线感应加速器会议文集. 绵阳: 强激光与粒子束出版社, 1994. 201—205)
- 3 SHI Jin-Shui, LI Jin, HE Yi et al. High Power Laser and Particle Beams, 1999, **11**(2): 177—179(in Chinese)
(石金水, 李劲, 何毅等. 强激光与粒子束, 1999, **11**(2): 177—179)
- 4 CUI Gao-Xian. Experimental Measurements of Bremspectrum From 10—20MeV X-ray, In: Annual Report of CAEP. Mianyang: CAEP, 2001 (in Chinese)
(崔高显. 10—20MeV X射线能谱的实验测定, 中国工程物理研究院年度总结报告. 绵阳: 中国工程物理研究院, 2001)
- 5 LI Cheng-Gang. Measurement of High Energy X-Ray Parameters. In:Master Thesis of CAEP. Mianyang: CAEP, 2004. 26—36(in Chinese)
(李成纲. 高能X射线参数测量研究. 见: 中国工程物理研究院硕士论文. 绵阳: 中国工程物理研究院, 2004. 26—36)

Experimental Measurement of the X-Ray Energy Spectrum for the 12MeV LIA^{*}

YU Hai-Jun^{1;1)} LI Yu-Xiong² SHI Jin-Shui¹ LI Qin¹ CHEN Nan¹

1 (Institute of Fluid Physics, CAEP, Mianyang 621900, China)

2 (National Synchrotron Radiation Laboratory, University of Science and Technology of China, Hefei 230029, China)

Abstract The 12MeV Linear induction accelerator can generate the pulse electron beam with energy \sim 12MeV and current 2.2kA.The beam is transported and focused onto the bremsstrahlung converter target(Ta) with about 4mm spot to produce high intensive X-ray.The X-ray detector and the multi-layer attenuation method are designed and applied to measure X-ray bremsstrahlung spectrum.The results show that the maximum energy of the X-ray is about 2MeV.The measurement results are also analyzed and discussed.

Key words linear induction accelerator, detector, attenuation coefficient, bressumtrahlung spectrum

*Supported by Fundamental Research Foundation of National Defence Technology

1) E-mail: haijunyu@21cn.com